

التقدير البيزي في تحليل المخاطر المتنافسة لبيانات البقاء المقطعة في ظل النهج الحركي

وبالتطبيق على مرض غسيل الكلى في البصرة / العراق

أ.د. اسماء ايووب يعقوب
جامعة البصرة/ كلية الادارة والاقتصاد
قسم الاحصاء
الا نقلوبة.م والا اقصاه
dromar72@coadec.uobaghdad.edu.iq asmaa.yaqoob@uobasrah.edu.iq

المستخلص :

يعد تحليل البقاء (Survival analysis) احد انواع تحليل البيانات التي تصف المدة الزمنية لحين حدوث حدث ذات اهتمام مثل الموت او غير ذلك من الاحداث ذات الاهمية في تحديد مسؤولة اليه ظاهرة المدرسة. ومن الممكن ان يكون هناك اكثر من نقطة لنهاية لحدث وفي هذه الحالة يطبق عليها المطر المتنافسة (Competing risks) . الغرض من هذا البحث هو تطبيق النهج الديناميكي في تحليل وقت البقاء المقطع وذلك لتقيير تأثير المتغيرات المشتركة عبر الزمن وكذلك نمدجة العلاقة اللاخطية بين المتغيرات المشتركة ودالة المخاطرة المقطعة (Discrete hazard function) من خلال استعمال الأنموذج متعدد الحدود اللوجستي (Multinomial Logistic) وانموذج كوكس متعدد المتغيرات (Multivariate Cox) . لغرض اجراء عملية التقدير لكل من دالة المخاطرة المقطعة والمعلمات المعتمدة على الزمن ، تم استعمال طريقتين للتقدير تعتمدان على اسلوب بيز (Bayse) وفق النمدجة لحركية وهما : طريقة التعظيم اللاحق (MAP) وقت هذه طريقة باستعمال الاساليب العددية والمتمثلة بممهد مرشح كالمتراري الموزون (IWKFS) وبالدمج مع خوارزمية تعظيم التوقع (EM) ، اما طريقة الاخرى فتتمثل بطريقة سلاسل ماركوف مبنية على كارلو الهجينه (HMCMC) باستعمال خوارزمية ميرروبليس هاستنك (M-H) ومعاينة جين (GS) . تم تطبيق الدراسة في تحليل البقاء على غسيل الكلى لحين حدوث اما حدث الوفاة بسبب الفشل الكلوي او حدوث حدث المنفصال والمتمثل بزرع الكلى . كما تم تحديد اهم المتغيرات المؤثرة على توقف المرض عن عمل الكلى لكلا لحدثين محل الدراسة.

الكلمات المفتاحية : دالة المخاطرة المقطعة ، النمدجة الديناميكية ، المطر المتنافسة ، تأثير تغير الزمن ، طريقة MAP ، طريقة MCMC ، مرضي غسيل الكلى

The Bayesian Estimation in Competing Risks Analysis for Discrete Survival Data under Dynamic Methodology with Application to Dialysis Patients in Basra/ Iraq

Asmaa Ayoob Yaqoo

prof.Dr. Omar Abdulmohsin Ali

University of Basrah, Iraq.

University of Baghdad, Iraq.

Abstract:

Survival analysis is one of the types of data analysis that describes the time period until the occurrence of an event of interest such as death or other events of importance in determining what will happen to the phenomenon studied. There may be more than one endpoint for the event, in which case it is called Competing risks. The purpose of this research is to apply the dynamic approach in the analysis of discrete survival time in order to estimate the effect of covariates over time, as well as modeling the nonlinear relationship between the covariates and the discrete hazard function through the use of the multinomial logistic model and the multivariate Cox model. For the purpose of conducting the estimation process for both the discrete hazard function and the time-dependent parameters, two estimation methods have been used that depend on the Bayse method according to dynamic modeling: the Maximum A Posterior method (MAP) This method was done using numerical methods represented by a Iteratively Weighted Kalman Filter Smoothing (IWKFS) and in combination with the Expectation maximization algorithm (EM), the other method is represented by the Hybrid Markov Chains Monte Carlo (HMCMC) method using the Metropolis Hasting algorithm (MH) and Gypsum sampling (GS). The study was applied in the survival analysis on dialysis until either death occurred due to kidney failure or the competing event, represented by kidney transplantation. The most important variables affecting the patient's cessation of dialysis were also identified for both events in this research .

Key Word: Discrete hazard function , Dynamic modeling , Competing risks, Time-Varying effect, MAP method, MCMC method, Dialysis patients .

١ - المقدمة Introduction

يعد تحليل البقاء (Survival Analysis) بأنه مجموعة من طرق تحليل البيانات ويتمثل بدراسة توزيع متغير أوقات الحياة. وهذا يعني أن الاهتمام سيف على دراسة الوقت ما بين وقوع حدث البداية حتى وقوع حدث النهاية والتي يمثل متغير النتيجة (الاستجابة) والتي يكون لحدث موضوع التصنيف والاستدلال الإحصائي. من الممكن ان يكون هناك اكتر من نقطة لنهاية لحدث وفي هذه الحالة يطلق عليها المخاطر المتنافسة (Competing risks)، والخطر المتنافس هو ايضا حدث ولكنه يعيق ظهور لحدث موضوع الاهتمام فيعد حدث منفى حيث يكون نتيجة بديلة ذات اهمية مساوية لحدث الاهتمام ، وان حدوث نوع واحد من هذه الاحداث يمنع بدوره حدوث الاحداث الاخرى .

صفت المقاييس الزمنية للأحداث إلى فئتين مستمرة ومقطعة، حيث تفترض التطبيقات التي تستخدم الزمن المستمر انه يتم قياس الوقت لحدوث لحدث بفواصل صغيرة صغيرة ودقيقة مثل (دقيقة، ساعة، يوم) ، في الحالات الأخرى يكون حدوث الأحداث الأحداث في فترة زمنية مستمرة ولكن من الصعب ملاحظة أوقات البقاء على مقاييس مقاييس زمني مستمر، لذلك لغرض تحليل البقاء نفترض ان الأحداث لا يمكن ان تحدث تحدث الا في فترات (نقط) زمنية محددة، اي يتم تسجيل الملاحظات المتعلقة بعملية عملية الانتقال وتطور لحدث بشكل متبع اي تحدث عملية قطيع للزمن المستمر وبذلك وبذلك يمكن اعتبار هذا النهج من الاساليب ذات الزمن المقطوع ، وهذا النهج هو الذي الذي سيتم اعتماده في هذا البحث . وغالبا يتطلب تحليل البقاء بالزمن المقطوع ان يتم تتم مراقبة كل فرد على مدة زمنية محددة، اي قياس وتحليل الزمن من نقطة الصل الى الصل الى الوقت الذي يواجه فيه الفرد لحدث ذات الاهتمام او احد الاحداث المتنافسة.

المتنافسة. لذا ويتطور علم الاحصاء تطور المفهوم لخاص بعامل الزمن حيث اصبح يؤخذ اصبح يؤخذ بنظر الاعتبار وذلك من خلال بناء نماذج حركية (Dynamic models) كل من المشاهدات والمعلمات حيث تختلف هذه النماذج التغيرات التي تحدث تحدث في الظواهر بسبب مرور الزمن

٢ - ملخص دراسات السابقة

ظهرت عدة انواع من الابحاث والدراسات التي تناولت تحليل البقاء للبيانات المقطعة سيتم في هذه الفقرة تكرار هذه الدراسات والاكثر تعليقا بموضوع البحث ومنها :

(Tutz,G.,1996) اقترح طريقة لإجراء التمهيد لبيانات البقاء المقطعة مع السماح بإدخال متغيرات مشتركة ، تعتمد طريقة المقترنة والتي تعد من طرائق الامثلية البحتة على تقنيات تمديد نواة كيرنل المقطعة او المستمرة. توصل الى امكانية استعمال طريقة كبييل للأساليب المعلمية عندما يكون التنبؤ هو الهدف الاساسي. (Berger,U.,Fahrmeir,L., and Klasen,S.,2002) في هذه الورقة تم تحليل اسباب وفيات الاطفال دون سن لخمسة. تم التركيز في هذه الدراسة بشكل خاص على الانماط اللاخطية لتأثير التغير الزمني للمتغيرات المشتركة اضافة الى اضافة الى التأثيرات الثابتة ، تم استعمال نموذج بيز اللوغاريتمي الديناميكي MCMC وطرق Bayesian Dynamic logit Model)

. توصلت الدراسة الى ان هناك العديد من المتغيرات منها عمر الام ومدة الرضاعة الرضاعة الطبيعية لها اثار كبيرة في بقاء طفل .

(Berry,S.D.,Ngo,L.,Samelson,E.J., and Kiel,D.P,2010) قاموا بتحليل البقاء الضوء على التجارب السريرية والرعاية الصحية ، تم مناقشة اساليب تحليل البقاء

الكلاسيكي وتحليل المخطر المتنافسة لتقدير مخطر المرض في دراسات الشيخوخة ، كما تم ، كما تم تقديم توضيحا لمفهوم المخطر المتنافسة لتقدير مخطر كسر الورك الثاني في في دراسات هشاشة العظام . لغرض تقدير التأثيرات للمتغيرات المشتركة تم استعمال Cumulative incidence (Competing risk estimation) وانحدار المخطر المتنافسة (Janitza,S., and Tutze,G.,2015) . (regression باستعمال مقدار المخطر المتنافسة للوقوع التراكمي باستعمال نظرية الامكان الاعظم . توصلوا الى ان النماذج النتجة تحتوي على عدد كبير كبير من المعلومات لذلك تمثل مقدرات الامكان الاعظم الى التدهور ، لذلك للتغلب على على هذه المشكلة تم استعمال تقنيات اعادة التنظيم حيث تناول طريقتين للتنظيم طريقة طريقة تقدير الامكان الاعظم لجزائي وطريقة الغابات العشوائية . طبقت الدراسة على على بيانات ولدت باستعمال المحاكاة اضافة الى بيانات حقيقية . (Wen,C., and Chen,Y.,2020) في هذه الورقة تم معالجة مشكلة فقدان وعدم قياس جس المعلومات المعلومات المتعلقة بالمتغيرات المشتركة المعتمدة على الزمن . تم استعمال دالة المخاطرة المخطورة المقطعة الكافية (SDH) (sufficient Discrete Hazard Function) لمعالجة تلك المشكلة ، تم تطوير هذه الطريقة للتعامل مع لحدث الواحد ومع SDH ومع المخطر المتنافسة .

٣ مشكلة البحث

تکمن المشكلة في كيفية تحليل البقاء للبيانات التي يصعب فيها فحص الاحداث على على نطاق زمني مستمر وانما يتم قطعها الى مجموعة من الفترات ويتم معاملة هذه هذه البيانات على انها بيانات مقطعة ، وتزداد المشكلة تعقيدا عند وجود المخطر

المتنفسة ، بالإضافة إلى ذلك أن قطع البيانات إلى فترات قد يتطلب الأخذ بنظر الاعتبار تأثير عامل الزمن وذلك من خلال دراسة تأثير التغير الزمني للمتغيرات المشتركة . جميع الأساليب التي ذكرت أعلاه كفيلة بجعل تقنيات تحليل البقاء الكلاسيكية غير ملائمة للتعامل مع مثل هذه الحالات ولا سيما عند وجود جن المشاهدات الخاضعة للرقابة ، لذلك لابد من اللجوء إلى أساليب أكثر حداثة للتعامل مع مع هذه المشكلة وذلك من خلال بناء النماذج الملائمة لوصف بيانات ظاهرة تأخذ بنظر الاعتبار تأثير عامل الزمن وذلك باستعمال أساليب معلمية ولامعلمية منها .

٤ هـ البحث

هدف البحث إلى استعمال النمذجة الديناميكية في تحليل البقاء للبيانات ذات الزمن المقطعي وذلك بأخذ تأثير التغير الزمني للمتغيرات المشتركة بنظر الاعتبار وفي ظل وجود المظطر المتنفسة ، وسيتم تقدير معلمات الانموذج الديناميكي باستعمال طريق تقدير ديناميكية من خلال اسلوب بيز. من جهة أخرى يهدف البحث إلى المقارنة بين طريق التقدير الديناميكية باستعمال معياريين للمقارنة هما AMSE and CEE ، ونتيجة لمجمل هذه الاهداف يمكن نمجها في الهدف التطبيقي لها والمتعلق بتحليل البقاء لمرضى العسيل الكلوي ودراسة تأثير التغير الزمني لامر العوامل المؤثرة على حدوث حدث الوفاة او لحدث الآخر المنفف والمتمثل بزرع الكلى لمرضى العسيل الكلوي .

٥ - ا - أدوات و الطرائق Materials and Methods

في هذه الفقرة سيتم توضيح جن المفاهيم الأساسية المتعلقة بتحليل بيانات البقاء المقطعة في ظل وجود المظطر المتنفسة ، اضافة إلى جن الأساليب الإحصائية الديناميكية المستعملة في عملية التقدير للمعلمات المتغيرة مع الزمن

١-٥ تقطيع الزمن Discretization of time

يصعب احيانا ملاحظة اوقات البقاء على مقاييس زمني مستمر، لذلك لغرض تحليل البقاء نفترض ان الاحداث لا يمكن ان تحدث الا في فترات (نقط) زمنية محددة، اي يتم تسجيل الملاحظات المتعلقة بعملية الانتقال وتطور لحدث بشكل متباعد اي تحدث عملية قطيع للزمن المستمر وبذلك يمكن اعتبار هذا النهج من الاساليب ذات الزمن المقطعي. حيث يتم تقسيم فترة الملاحظة $[0, Q]$ الى فترات زمنية معينة (I_1, \dots, I_q) او I_t تكتب بالشكل $(\infty, \infty) [b_q, b_{q-1}), [b_1, b_2), \dots, [b_1, b_1)$ وغالبا ما يكون طول هذه الفترات متسللي مثل (شهر، سنة)، وبفرض ان T تمثل متغير عشوائي مقطعي يمثل وقت البقاء وهو يأخذ القيم في المجموعة المقطعة $\{1, \dots, t, \dots, q\}$ وتشير $T \in \{1, \dots, t, \dots, q\}$ وتشير $(T = t)$ الى الفشل في الفترة الزمنية $[b_{t-1}, b_t]$. وفي حالة وجود المظفر المتنافسة والتي يرمز لها بالرمز cr حيث ان $cr \in (1, 2, \dots, m)$ لذلك يكون هناك وقت بقاء لكل حدث متنفس (سبب انهاء) اي هناك T_m, T_1, \dots, T_m وبذلك فان $T = \min(T_1, \dots, T_m)$ والتي تمثل وقت البقاء [10].

يتم عمل المؤشرات الخاصة بكل مفردة لغرض تخزين المعلومات حول كل من الرقابة والخطر وحدوث لحدث بالشكل الآتي: [4][7]

يكون مؤشر الرقابة (censored indicator) ويرمز له بالرمز (C) ، حيث ان $t_i = \min(T_i, C_i)$ وفي هذه الحالة يكون وقت البقاء للمفردة $C \in \{1,2,\dots,q\}$ ، ولغرض تخزين المعلومات حول كل مفردة (i) اذا كانت مراقبة ام لا في نهاية كل فترة كل فترة زمنية وان $n = 1,2,\dots$ بالشكل الآتي

اما بالنسبة الى مؤشر الخطر (Risk indicator) والتي يشير الى هل ان المفردة المفيدة واقعة تحت الخطر في الفترة الزمنية ام لا وكل $n = 1, 2, \dots, i$ وان $t = 1, 2, \dots, q$ يعرف على النحو الاتي:

$$r_{it} = \begin{cases} 1 & \text{if } i \text{ is at risk in } [b_{t-1}, b_t) \\ 0 & \text{otherwise} \end{cases} \quad \dots \dots (1)$$

بذلك تكون مجموعة لخطر (Risk set) والتي تضم كل المفردات الواقعة تحت لخطر في الفترة الزمنية بليصيغة $\{i: r_{it} = 1\}$ ، وبافتراض ان المراقبة تتم في نهاية الفاصل الزمني بذلك تكون مجموعة لخطر Rs شمل جميع الافراد لخاضعين للرقابة في الفترة $[b_{t-1}, b_t)$.

وعليه يتم تسجيل التسلل الزمني لحدوث لحدث لكل فرد منتمي الى مجموعة لخطر Rs_t باستخدام سلسلة من المتغيرات يرمز لها $y_{it(cr)}$ ويتم تحديد القيم بالشكل الاتي:

$$y_{it(cr)} = \begin{cases} 1 & \text{failure of type } cr \text{ occurs in } [b_{t-1}, b_t) \\ 0 & \text{no failure occurs in } [b_{t-1}, b_t) \end{cases} \dots \quad (3)$$

يكون متوجه الاستجابة للمشاهدة i وكل $t_i = 1, 2, \dots, t$ بالشكل

$$y_{it0} = 1 - y_{it1} - \dots - y_{itm} \quad \text{حيث أن } Y'_{it} = (y_{it0}, y_{it1}, \dots, y_{itm})$$

و تمثل عدم حدوث اي حدث في الفترة الزمنية.

٢-٥ النمجة الحركية Dynamic Modeling

تعتمد نمذجة وتحليل وقت البقاء بالزمن المقطعي بشكل عام على دالة المخطرة، وقف دالة المخطرة المقطعة احتمالية الفشل (وقوع الحدث) عند الفترة الزمنية I_t وبشروط ان تكون المفردة تحت لخطر قبل الفترة I_t . في تحليل المخطر المتنفسة عندما ($m > 1$) تكون دالة المخطرة لخاصة بالحدث من النوع cr بالشكل الاتي: [6]

$$\begin{aligned}\psi_{cr}(t|x_t) &= pr(T = t, CR = cr|T \geq t, x_t) \\ &= h(\alpha_{0t(cr)} + x' \alpha_{t(cr)}) = h_{cr}(\delta)\end{aligned} \quad \dots(4)$$

تمثل x المتغيرات التوضيحية المشتركة والتي يمكن ان تكون معتمدة على الزمن .

ويمكن وصف توزيع المشاهدات من خلال توزيع متعدد لحدود (multinomial distribution) وكالاتي:

$$Y'_{it} = (y_{ito}, y_{it1}, \dots, y_{itm}) \sim M(\psi_1(t|x), \dots, \psi_m(t|x), 1 - \psi(t|x)) \quad \dots(5)$$

حيث $\alpha_{0t(cr)}$ تمثل دالة المخطرة الاساسية ، $\alpha_{t(cr)}$ تمثل متوجه المعلمات والمتعلق بالحدث نوع cr ويمثل تأثيرات المتغيرات المشتركة وتكون معتمدة على الزمن، (\cdot) تمثل دالة الربط ، تكون دوال الربط في هذه حالة لها الاشكال الاتية: [5]

١- الانموذج اللوغاريتمي متعدد لحدود (Multinomial Logit model) وله

صيغة الاتية:

$$h_{cr}(\delta_1, \delta_2, \dots, \delta_m) = \frac{\exp(\delta_{cr})}{1 + \sum_{j=1}^m \exp(\delta_j)} \quad \dots(6)$$

٢ - انموذج كوك متعدد المتغيرات (Multivariate Cox model) وله بصيغة الآتية:

$$h_{cr}(\delta_1, \delta_2, \dots, \delta_m) = \frac{\exp(\delta_{cr})}{\sum_{j=1}^m \exp(\delta_j)} \{1 - \exp(-\sum_{j=1}^m \exp(\delta_j))\} \dots (7)$$

ويمكن لجاد احتمال البقاء لمدة طول من الفترة $[b_{t-1}, b_t]$ والتي يمثل دالة البقاء

بصيغة الآتية :

$$S(t|x) = pr(T > t|x) = \prod_{j=1}^t (1 - \psi(j|x)) \dots (8)$$

يتم نمذجة المعلمات المعتمدة على الزمن من خلال انموذج تصادي يمثل الاختلاف العشوائي لكل من معلمات دالة المخلط الاساس (α_{0t}) ومعلمات تأثير المتغيرات المشتركة (α_t) . يتم نمذجة التطور العشوائي للمعلمات وذلك بتمثيلها بنماذج المشي العشوائي (random walk) وبشكل الآتي [11]:

$$\begin{aligned} \varepsilon_t &\sim N(0, U_t) \\ \theta_t &= G_t \theta_{t-1} + \varepsilon_t \\ \theta_0 &\sim N(a_0, U_0) \\ (\theta_t | \theta_{t-1}) &\sim N(G_t \theta_{t-1}, U_t) \end{aligned} \dots (9)$$

حيث θ_t متوجه المعلمات ويضمن كل من

$$\theta_t = [\alpha_{0t1}, \alpha_{0t2}, \dots, \alpha_{0tm}, \alpha'_{t1}, \alpha'_{t2}, \dots, \alpha'_{tm}]$$

تمثل مصفوفة انتقالية غير عشوائية ، ε_t متتابعة من الشيش الايسن المستقلة عن
الحالة الاولية $\theta_0 \sim N(a_0, U_0)$ (initial state).

لذلك يمكن كتابة $\delta_t = \alpha_{0t} + x' \alpha_t$ في معادلة (4) اعلاه باستخدام المعلمات
المدمجة θ_t وكل $i \in (RS)_t$ وذلك الآتي:

$$\delta_{it} = Z_{it} \theta_t \dots (10)$$

حيث Z_{it} ، تمثل المتغيرات التوضيحية المشتركة اضافة الى معامل دالة المخلط
الاساس وكل من (j, i, k) مفردات ضمن مجموعة لخظر فان :

$$Z_{it} = \begin{bmatrix} 1 & 0 & x'_{it} & 0 \\ \ddots & & & \vdots \\ 0 & 1 & 0 & x'_{it} \end{bmatrix} ; Z_t = \begin{bmatrix} Z_{jt} \\ \vdots \\ Z_{it} \\ \vdots \\ Z_{kt} \end{bmatrix}$$

٥-٣ طريقة التعظيم اللاحق (MAP)

تعد طريقة مقدر التعظيم اللاحق عبارة عن نوع من انواع تقدير بيز الذي يعتمد على ايجاد التوزيع اللاحق لمعلمات الانموذج المحدد، هذه طريقة تعتمد على البيانات بدلا من المتوسط في ايجاد التقدير ، ويتم الحصول على هذا المقدر عن طريق تحديد موقع الحد الاهلى للتوزيع اللاحق والتي يسلُّى منوال التوزيع اللاحق واستخدامه كتقدير للقطة [1]. بافتراض ان التوزيع الاولى (prior distribution) للمعلمات معلوم والمعرف بالمعادلة (9) وبفرض ان كل من (a_0, U_0, U_t) معلومة، لتقدير متتابعة المعلمات يكون ذلك من خلال ايجاد التوزيع اللاحق للمعلمة θ باستخدام نظرية بيز . بهذا يمكن تعريف المقدر بطريقة MAP بالشكل الاتي:

$$\hat{\theta}_{MAP} = \arg \max_{\theta} [p(\theta|data)] \equiv \hat{\theta} = (\hat{\theta}'_{0|q}, \hat{\theta}'_{1|q}, \dots, \hat{\theta}'_{q|q}) \dots (11)$$

ويمكن تعريف دالة الكثافة اللاحقة (Posterior distribution)

$$p(\theta|Y_q^*, x_q^*, r_q^*) \propto \prod_{t=1}^q \prod_{i \in RS} p(Y_{it}|\theta_t, x_{it}) \prod_{t=1}^q p(\theta_t|\theta_{t-1}).p(\theta_0) \dots (12)$$

حيث Y_q^*, x_q^*, r_q^* تمثل البيانات التاريخية لكل من الفشل، المتغيرات المشتركة والخطر على التوالي.

من المعادلين (9),(4) وبالتعويض في المعادلة (12) وبأخذ اللوغاريتم نحصل على الاتي:

$$PLL(\theta) = L(\theta) - \frac{1}{2}(\theta_0 - a_0)' U_0^{-1} (\theta_0 - a_0) - \frac{1}{2}(\theta_t - G_t \theta_{t-1})' U_t^{-1} (\theta_t - G_t \theta_{t-1}) \quad ..(13)$$

حيث ان:

$$L(\theta) = \sum_{t=1}^q L_t(\theta_t) = \sum_{t=1}^q \sum_{i \in (RS)_t} L_{it}(\theta_t)$$

$$L_{it}(\theta_t) = (1 - y_{it}) \text{Log}(1 - h(\delta_{it})) + y_{it} \text{Log}h(\delta_{it})$$

يتم الحصول على مقدر المعلمات من خلال خوارزمية WKFS وبالدمج مع خوارزمية

EM ويكون ذلك حسب المعادلات الآتية :

$$\hat{\theta}_{t-1|q} = \hat{\theta}_{t-1|t-1} + A_t(\hat{\theta}_{t|q} - \hat{\theta}_{t|t-1}) \quad ..(14)$$

$$\Sigma_{t-1|q} = \Sigma_{t-1|t-1} + A_t(\Sigma_{t|q} - \Sigma_{t|t-1})A_t' \quad ..(15)$$

$$A_t = \Sigma_{t-1|t-1} G_t' \Sigma_{t|t-1}^{-1} \quad ..(16)$$

حيث ان $\hat{\theta}$ تمثل المعلمات المقدرة والمتغيرة مع الزمن ، Σ تمثل مصفوفة التبليين والتبلين المشترك بين المعلمات ، يتم الحصول على $\hat{\theta}_{MAP}$ من معادلة (14) . لتفاصيل أكثر حول خوارزميات طريقة MAP نظر [4][13].

٥- طريقة سلاسل ماركوف مونت كارلو الهجينية

Hybrid Marckov Chain Monte Carlo (HMCMC)

تعتبر طريقة (HMCMC) نوع من انواع المحاكاة العشوائية، وستستخدم عادة في تقييم التكاملات المعقّدة ومتحدة الابعاد وذلك باستخدام اجراءات اخذ العينات العشوائية من التوزيعات الاحتمالية . في الآونة الاخيرة تم تطوير اساليب بيز مع طرائق (HMCMC) وذلك لأن اسلوب بيز في كثير من الاحيان يتطلب عمليات معقّدة وعالية الابعاد من اجل الحصول على توزيعات لاحقة للكميات ذات الامانة.

لنفرض ان دالة الاحتمال المشتركة حتى الفترة الزمنية (b_{t-1}, b_t) متمثلة بلصيغة الآتية:

$$\mathcal{F}_t = p(Y_t^*, x_t^*, C_t^*, \theta_t^*, U) \quad \dots(17)$$

حيث $(Y_t^*, x_t^*, C_t^*, \theta_t^*)$ تمثل البيانات التاريخية لغاية الزمن t . فصعوبة المعاينة من التوزيع المشترك يتم اللجوء الى عمل التوزيعات الشهادة وتكون بالشكل الآتي [8] :

$$\mathcal{F}_t = \mathcal{F}_{t-1} \cdot p(Y_t | Y_{t-1}^*, x_t^*, C_t^*, \theta_t^*, U) \cdot p(\theta_t | \theta_{t-1}^*, Y_{t-1}^*, x_t^*, C_t^*, U).$$

$$p(x_t, C_t | Y_{t-1}^*, x_{t-1}^*, C_{t-1}^*, \theta_{t-1}^*, U) \quad \dots\dots(18)$$

ان التوزيع المشترك يتطلب طرديا مع التوزيع اللاحق بهذا يكون التوزيع الشرطي الشرطي الكلمل للمعلمات بلصيغة

$$p(\theta_t | \theta_{i \neq t}, U, Y, x, C) \propto \left\{ \prod_{i \in (RS)_t} p(Y_{it} | x_{it}, \theta_t) \right\} * p(\theta_t | \theta_{i \neq t}, U) \quad \dots(19)$$

يمكن اشتقاق التوزيع الشرطي $p(\theta_t | \theta_{t' \neq t}, U)$ بالرجوع الى النموذج الحركي في معادلة (9) نصل على الآتي :

$$(\theta_t | \theta_{t' \neq t}, U) \sim \begin{cases} N(\theta_{t+1}, U) & \text{if } t = 1 \\ N(\frac{1}{2}(\theta_{t-1} + \theta_{t+1}), \frac{1}{2}U) & \text{if } t = 2, 3, \dots, q-1 \\ N(\theta_{t-1}, U) & \text{if } t = q \end{cases} \quad \dots(20)$$

لإيجاد دالة الاحتمال الشرطي $p(U|\theta)$ وبأخذ التوزيع الاولى $p(U)$ حب توزيع معكوس كما (Inverse gama) وبافتراض ان U مصفوفة قطرية وان α, β معلمات التوزيع تكون معلومة فان

$$(U_{jj} | \theta) \sim IG(\alpha + q - 1/2, \beta + \sum_{t=2}^q \varepsilon_{tj}^2 / 2) \quad \dots(21)$$

بذلك يمكن توضيح خوارزمية (HMC) بالخطوات الآتية:

١ اختيار نقطة اولية (Initial) $\theta^{(0)}$ مع وضع التكرار $k = 0$.

٢ توليد عينات من توزيع افتراضي $\theta^* \sim q(\theta, \theta^*)$ وقد تم اختيار $q(\theta, \theta^*) = p(\theta_t | \theta_{t \neq t}, U)$

للعينات المسحوبة حسب المعادلة الآتية :

$$\eta = \min \left\{ 1, \frac{p(y_t | \theta_t^*)}{p(y_t | \theta_t)} \right\} \quad \dots(22)$$

٣ توليد اعداد عشوائية من التوزيع المتقطم $u \sim unif(0,1)$. فيكون قبول

العينة حسب لصيغة :

$$\theta^{(k+1)} = \begin{cases} \theta^* & \text{if } u \leq \eta \\ \theta & \text{o.w} \end{cases} \quad \dots(23)$$

٤ يتم محب العينة للمعلمات المقدرة في كل فترة زمنية بالاعتماد على الفترات

الفترات السابقة اي ان :

$$\theta_t^{(k)} \text{ from } p(\theta_t | \theta_{t' \neq t}) \quad \dots(24)$$

٥ إعادة الخطوات اعلاه لغاية الحصول على سلسلة من العينات مع جعل

$$k = k + 1$$

٦ تحديد فترة الاحتراق (burn-in period) ويرمز لها بالرمز (b) والغرض

منها هو ان القيم الاولية التي تم فرضها في خطوة الاولى تم تحديدها بشكل

تعسفي لذلك فان النتائج في بداية المحاكاة تكون غير دقيقة لذلك يفضل حذفها من

العينات النهائية.

٧ بعد تحديد فترة الاحتراق b يتم تطبيق تكملة مونت كارلو لإيجاد مقدر المتوسط

اللاحق وذلك باستخدام f من التكرارات حيث $f = 1, 2, \dots, m$ وهب

لصيغة الآتية:

$$\hat{\theta}_{HMCMC} = \frac{1}{f-b} \sum_{k=b+1}^f \theta^{(k)} \quad \dots(25)$$

٦ - التطبيق : تحليل البقاء لمرضى الغسيل الكلوي

تم في هذه الفقرة توضيح نهج النمذجة الديناميكية في تقدير تأثير التغير الزمني للمتغيرات المشتركة من خلال تطبيق لبيانات حقيقية متمثلة ببيانات بقاء المرضى للصائمين بالعجز الكلوي على غسيل الكلى لحين حدوث حدث الوفاة او حدوث حدث منفث والمتمثل بزرع الكلى ، ويقصد بالعجز الكلوي هو فقدان التدريجي لوظيف الكلى المتمثلة بترشيح الدم من السموم والسوائل الزائدة والشوك والتى تفرز بعد ذلك في البول ، اضافة الى ذلك فان للكلى دور في افراز جس الهرمونات المسئولة عن تنظيم ضغط الدم والتحكم في انتاج خلايا الدم الحمراء للجسم كما لها الدور في تنظيم درجة الحرارة والاملاح ومستوى البوتاسيوم في الجسم وعندما يصل العجز الكلوي لمرحلة متقدمة فان هذه الفضلات والسوائل تبقى متراكمة في الجسم وبالتالي يكون لجسم حاجة لتدخل التقنيات الصناعية مثل غسيل الكلى او زرع الكلى [14].

٦-١- صف بيانات الدراسة

تم سحب عينة مكونه من (140) مرضي صائمين بالعجز الكلوي من مركز غسيل الكلى في محافظة البصرة العراق . حيث بدأت الدراسة من April, 2018- February, 2021 ، مدة البقاء على الغيل تم قياسها بالأشهر ، حيث تم مراقبة حالة المرض في نهاية كل شهر. ويمكن توضيح المتغيرات المشتركة التي ضمنتها الدراسة بالشكل الآتي :

X1 : تمثل الجنس ، X1=1 للذكور ، X1=0 للإناث .

X2 : تمثل العمر ، X21=1 اذا كان $age \leq 40$ ، X21=0 في الحالات الأخرى .

X22=0 اذا كان $60 \leq age < 40$ ، X22=1 الاخرى .

بذلك تكون X2 لكل فرد عبارة عن متوجه يأخذ القيم الآتية :

$$X2=[X21,X22,X23]$$

X23=1 اذا كان $age \geq 60$ ، X23=0 في الحالات الأخرى .

X3 : تمثل حالة الزوجية ، X3=1 للمتزوج ، X3=0 غير ذلك .

X4 : تمثل التدخين ، X4=1 للدخن ، X4=0 لغير المدخن .

X5 : تمثل امراض القلب ، X5=1 وجود المرض ، X5=0 عدم وجود المرض .

X6 : تمثل مرض السكري ، X6=1 وجود المرض ، X6=0 عدم وجود المرض .

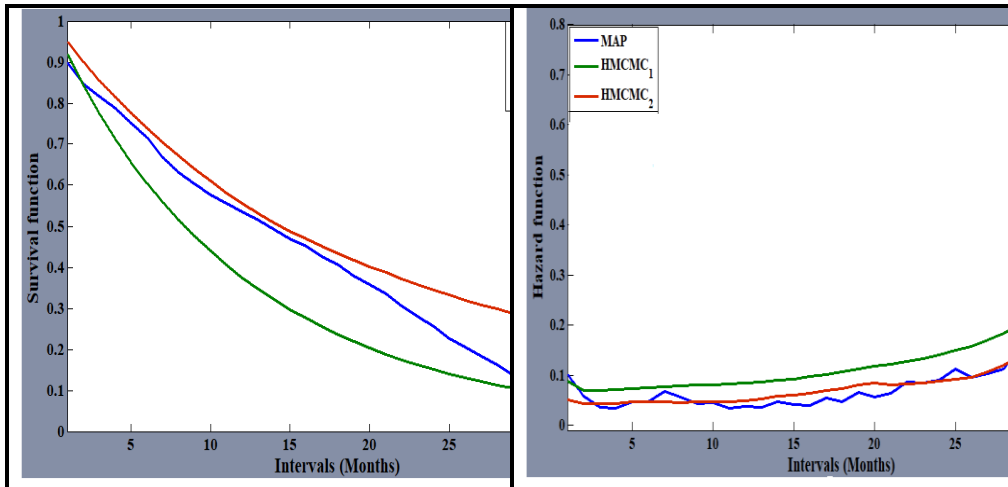
X7 : تمثل مرض التهاب الكبد الفيروسي ، X7=1 وجود المرض ، X7=0 عدم وجود المرض .

٢-٦ نتائج التحليل Results of analysis

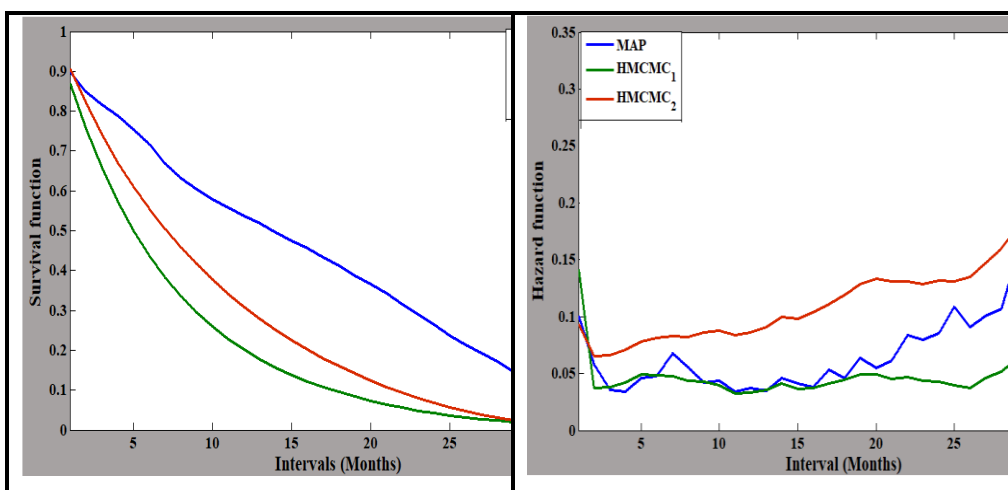
في بداية التحليل سيتم تقيير كل من دالة المخاطرة (hazard) والبقاء (Survival) بالاعتماد على معلمة الأساس baseline parameters وباستخدام النماذجين M-Cox و M-Logistic وباستعمال طريقة التقدير الديناميكية التي سبق توضيحها ، حيث تم استعمال لغة البرمجة (Matlab,2016) في تصميم البرامج. البرامج. حيث تم اختيار قيم اولية غير معلومة اي ان $(a_0 = 0)$ ، اما بالنسبة الى تبيان لخطأ ولخاص بطريقة التقدير MAP بعد التجرب فتم اختيار $(U_{jj} = 0.3)$ ، اما لطريقة التقدير HMCMC فتم اختيار القيمة الاولية لتبيان لخطأ بالشكل $U_{jj} \sim IG(\alpha, \beta)$ ، بعد التجرب تم اختيار $(\alpha = 1, \beta = 0.05 \& \alpha = 1, \beta = 3)$ لشكلين (1) و (2) يعرضان كل من من دالة المخاطرة و دالة البقاء لكل شهر باستعمال الانماذجين اللوحيستي وكوكس على التوالي ، حيث نلاحظ في كلا لشكليين ان هناك تقارب في الاتجاه العام للمنحنيات المنحنيات لكافة طرائق، كما نلاحظ ان احتمالية توقف المرض عن غسل الكلى تبدأ بالزيادة

التقدير البيزى في تخليل المخاطر المشافعة لبيانات البقاء المقطعة في ظل النهج الحركى

تبدأ بالزيادة بشكل ملحوظ بعد الشهر العشرين وتستمر بالزيادة تدريجياً بشكل متذبذب .
متذبذب .



شكل (١) : تقدير دالى البقاء والمخطرة لمرضى الغسيل الكلوى لكافة الفترات الزمنية
باستعمال الانموذج متعدد الحدود اللوجستي .



شكل (٢) : تقدير دالى البقاء والمخطرة لمرضى الغسيل الكلوى لكافة الفترات الزمنية
باستعمال انموذج كوكس متعدد المتغيرات .

لفرض اختيار الانموذج الاقل من بين الانموذجين اللوجستي وكوكن وكذلك اختيار طريقة اختيار طريقة التقدير الاب من بين MAP و HCMC تم استعمال معيارين (Average Mean Square لخطأ (Cross Entropy Error)(AMSE) والمعيار الآخر دالة انترولي لخطأ (CEE) ، حيث ان الانموذج الاقل الذي يكون له اقل قيم للمعايير ويتم لجاد المعايير المعايير حب لصيغ الآتية:

$$AMSE = \frac{1}{q} \sum_{t=1}^q \frac{1}{RS(t)} \sum_{i \in RS(t)} \sum_{cr=1}^m (Y_{it(cr)} - \hat{h}_{it(cr)})^2 \quad \dots(26)$$

$$CEE = -\left(\frac{1}{q} \sum_{t=1}^q \frac{1}{RS(t)} \sum_{i \in RS(t)} \sum_{cr=1}^m Y_{it(cr)} \log(\hat{h}_{it(cr)}) + (1 - Y_{it(cr)}) \log(1 - \hat{h}_{it(cr)})\right) \quad \dots(27)$$

جدول (١) يعرض النتائج الخاصة بمعايير المقارنة ، حيث نلاحظ ان هناك تقاربًا في اداء الانموذجين في كلا لطريقتين حيث كانت قيم معايير المقارنة متقاربة ، ولكن تفوقت طريقة MAP على طريقة HCMC حيث كان لها اقل قيم للمعايير .

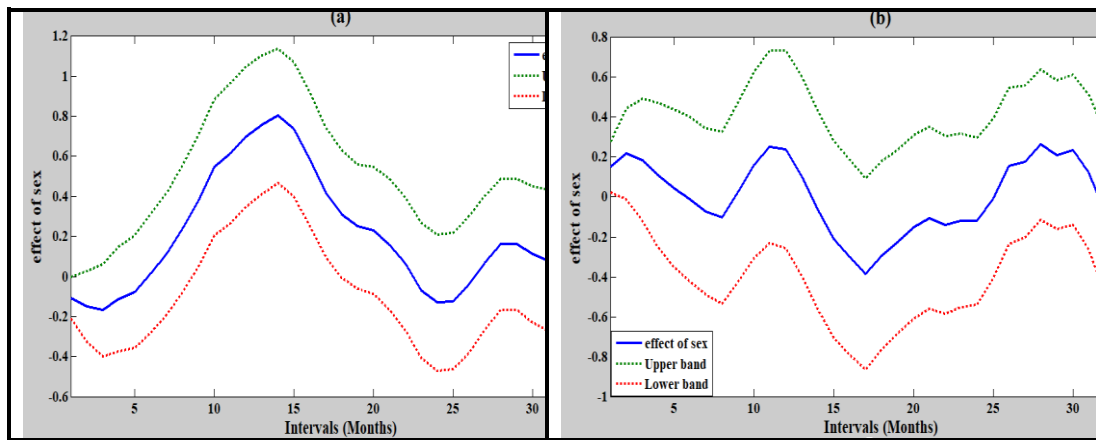
جدول (١) قيم معايير المقارنة بين طرائق التقدير والنماذج المستعملة

Methods of estimation		M-Logistic model		M-Cox model	
		AMSE	CEE	AMSE	CEE
MAP		0.0257	12.1609	0.0257	12.1485
HCMC	$\alpha = 1$ $\beta = 3$	0.0305	25.6964	0.0306	28.7485
	$\alpha = 1$ $\beta = 0.05$	0.0306	34.7468	0.0305	34.5377

التقدير البيزى في تحليل المخاطر المشافسة لبيانات البقاء المتقطعة في ظل النهج الحركى

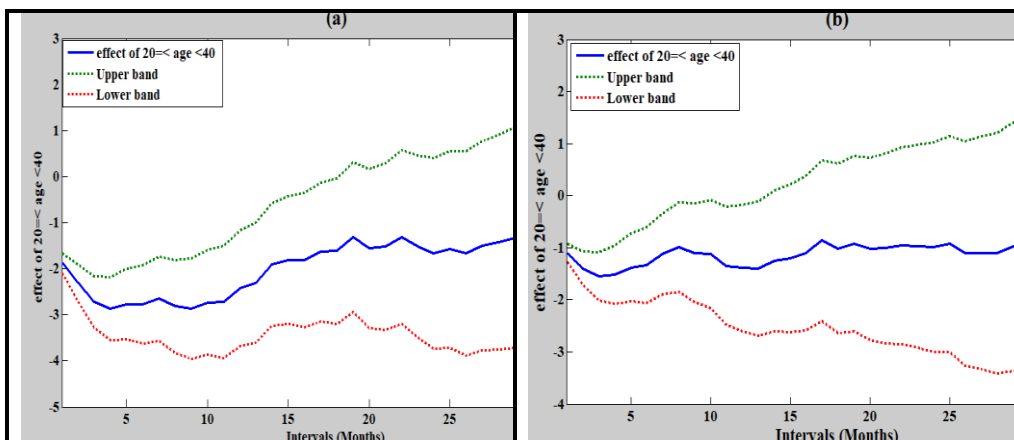
تم تقدير التأثيرات المتغيرة مع الزمن للمتغيرات المشتركة والمعروضة في الفقرة (1-3) وذلك باستعمال طريقة MAP كونها تعد لطريقة **المخل** هب معايير المقارنة اعلاه ، حيث كلت نتائج تأثير المتغيرات المشتركة في كل فترة زمنية على كل من حدث الوفاة وحدث زرع الكلى بالشكل الاتي:

يعرض شكل (3) تأثير الجنس على كل من حدث الوفاة وزرع الكلى حيث كلت نسبة الذكور في العينة (53.6%) والإناث بنسبة (46.4%) ، نلاحظ من خلال الشكل (a) ان بعد الشهر الثامن هناك تأثير واضح للجنس ، حيث يكون الرجال أكثر عرضة للوفاة ويختفي هذا التأثير بعد الشهر السادس عشر . بينما الشكل (b) يوضح انه كان هناك تأثير للجنس على زرع الكلى في الاشهر الاولى حيث كان الذكور أكثر خصوصاً لعمليات زرع الكلى ثم بعد الشهر السادس عشر زال هذا التأثير وفي الشهر قبل الاخرة بظهور تأثير للجنس مرة اخرى .



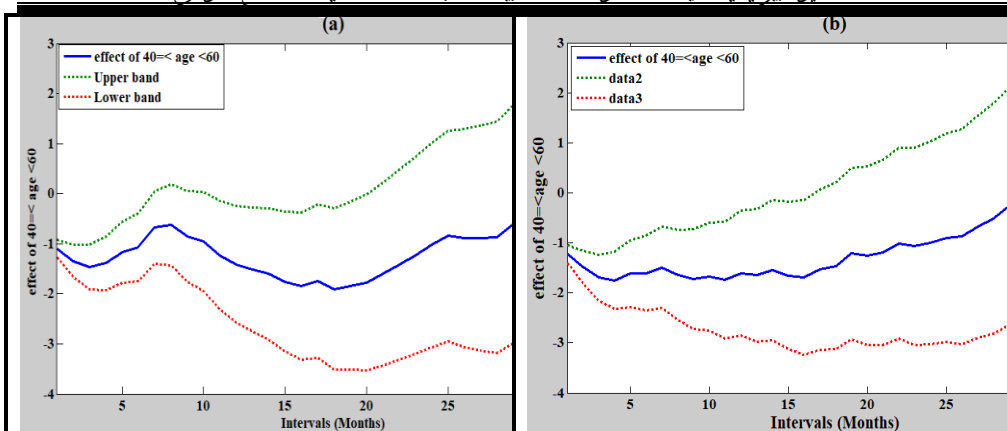
شكل (٣) : التأثيرات المقدرة للجنس sex مع حدود الثقة (a) لحدث الوفاة ، (b) لحدث زرع الكلى .

لفرض توضيح تأثير العمر تم تقسيم العينة الى ثلاث فئات عمرية حيث قسّمت العينة $40 \leq \text{age}$ (38.6%) من الفئة $20 \leq \text{age} < 40$ ، $20 \leq \text{age} < 40$ (35.7%) من الفئة $\text{age} \geq 60$ (25.7%) و من الفئة $40 < \text{age} \leq 60$ ، تعرض الاشكال (a) (b) (c) التأثيرات لكافة الفئات العمرية على التوالي ، لفرض معرفة تأثير العمر على حدوث الوفاة يتم ذلك من خلال مقارنة (a) في الاشكال الثلاثة ، نلاحظ ان الاشخاص الاصغر سناً أقل عرضة للوفاة مقارنة مع الاشخاص كبار السن حيث كانوا اكثر عرضة للوفاة ولاسيما في الاشهر الثمانية الاولى بعد ذلك بدأ تأثير العمر يقل ، اضافة الى ذلك يتم شخيص تأثير العمر على حدث المنفف والمتمثل بزرع الكلى من خلال مقارنة (b) في الاشكال الثلاثة ، ونلاحظ عدم وجود اي تأثير للعمر على زرع الكلى ماعدا في الفترات الاخيرة نلاحظ ان الاشخاص الاصغر سناً كانوا اكثر خصوصاً لزراعة الكلى حيث بعد شهر الثلاين بدأ ظهور التأثير عكس كبار السن حيث نلاحظ ان مع تقدم الفترات الزمنية يقل جدالخصوصيات لعمليات زرع الكلى .

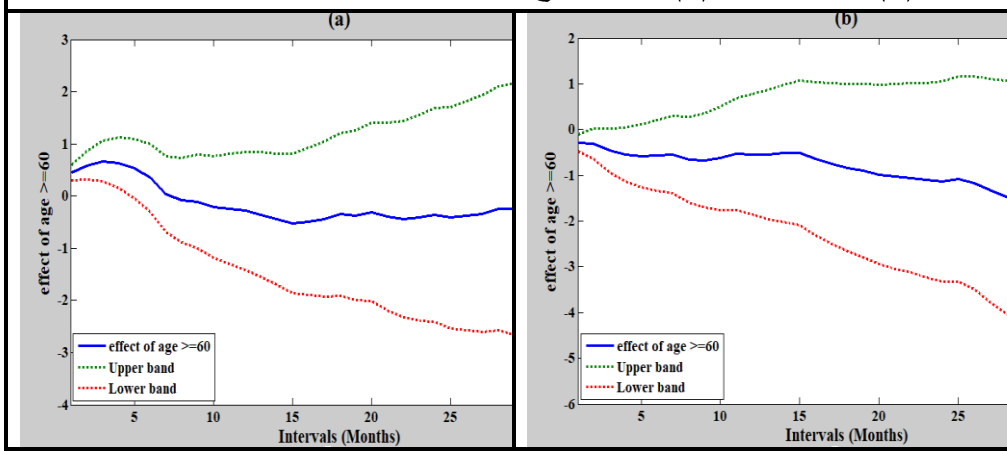


شكل (٤) : التأثيرات المقدرة للعمر (age) للمحور $20 \leq \text{age} < 40$ مع حدود الفئة ، (a) لحدث الوفاة ، (b) لحدث زرع الكلى .

التقدير البيزى في تخليل المخاطر المشافسة لبيانات البقاء المتقطعة في ظل النهج الحركى

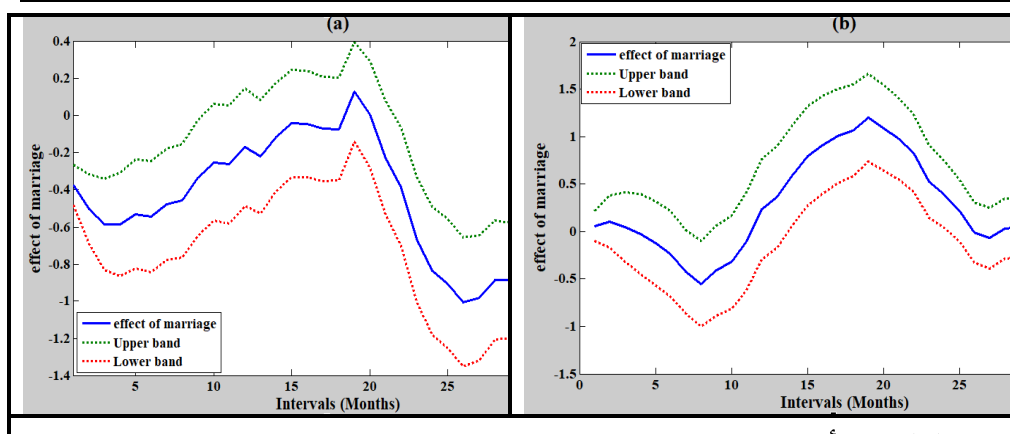


شكل (٥) : التأثيرات المقدرة للعمر (age) للمحور $40 \leq \text{age} < 60$ مع حدود الثقة ، (a) لحدث الوفاة ، (b) لحدث زرع الكلى .



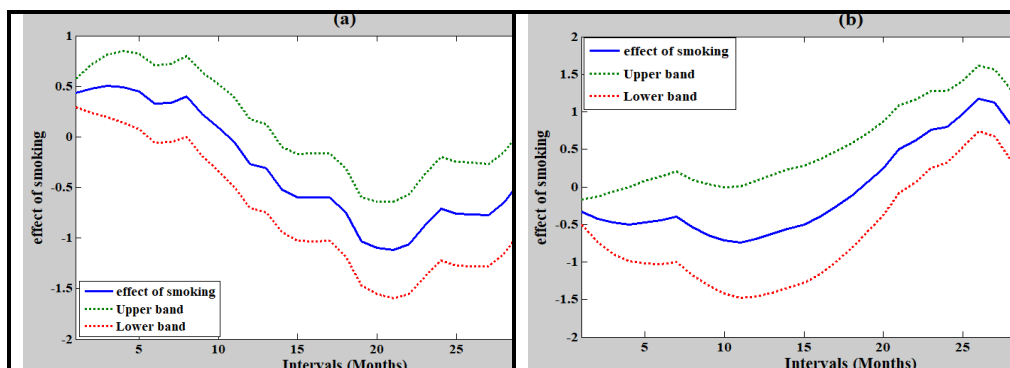
شكل (٦) : التأثيرات المقدرة للعمر (age) للمحور $age \geq 60$ مع حدود الثقة ، (a) لحدث الوفاة ، (b) لحدث زرع الكلى .

شكل (7) ، يبين تأثير الزواج على كل من حثى الوفاة و زرع الكلى حيث ان عدد المتزوجين في العينة (42.1%) ، وكما هو واضح من شكل المنهنى في (a) لم يكن هناك تأثير حيث ان الاشخاص المتزوجين وغير المتزوجين كانوا فس العرضة لوفاة ، من خلال (b) نجد انه في اغلب الفترات كان هناك تأثير في ان الاشخاص المتزوجين اكثر خصوصا لعمليات زرع الكلى .



شكل (٧) : التأثيرات المقدرة لحالة الزوجية marriage مع حدود الثقة (a) لحدث الوفاة ، (b) لحدث زرع الكلى .

تم دراسة تأثير التدخين على حدث الوفاة وحدث زرع الكلى لمجموعة الرجال فقط وذلك لعدم وجود نساء مدخنات في العينة وقد قضت العينة على (47.1%) مدخنين من بين مجموعة الرجال ، من الشكل (8) من خلال (a) نلاحظ ان للتدخين تأثير واضح على الوفاة في الاشهر العشرة الاولى بعد ذلك اصبح المدخنين وغير المدخنين فس العرضة للوفاة وليضا كان هناك تأثير في الاشهر الاربعة الاخيرة ، من خلال (b) نلاحظ ان في الاشهر الاولى لا يوجد اي تأثير على زرع الكلى ولكن بعد الشهر العشرين اصبح الاشخاص المدخنين اكثر خصوصا لعمليات زرع الكلى .



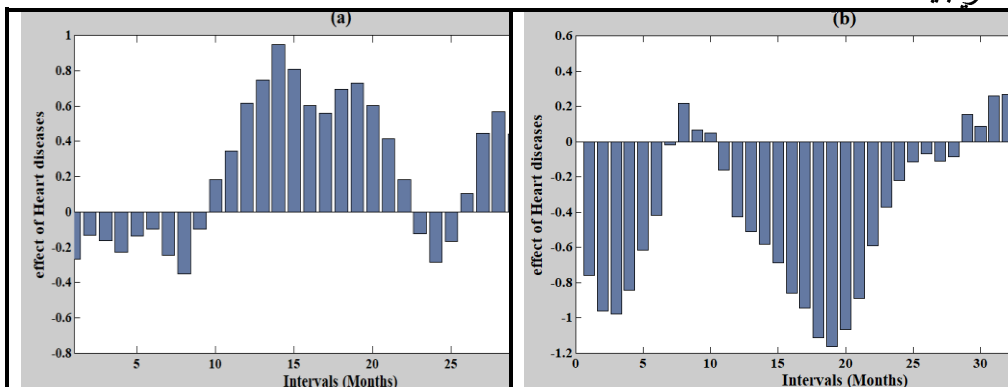
شكل (٨) : التأثيرات المقدرة للتدخين smoking مع حدود الثقة (a) لحدث الوفاة ، (b) لحدث زرع الكلى .

تعد الامراض المزمنة من العوامل المهمة جدا التي لابد من معرفة مدى تأثيرها على حدوث حدث الوفاة وحدث زرع الكلى خلال الفترات الزمنية . تم دراسة تأثير

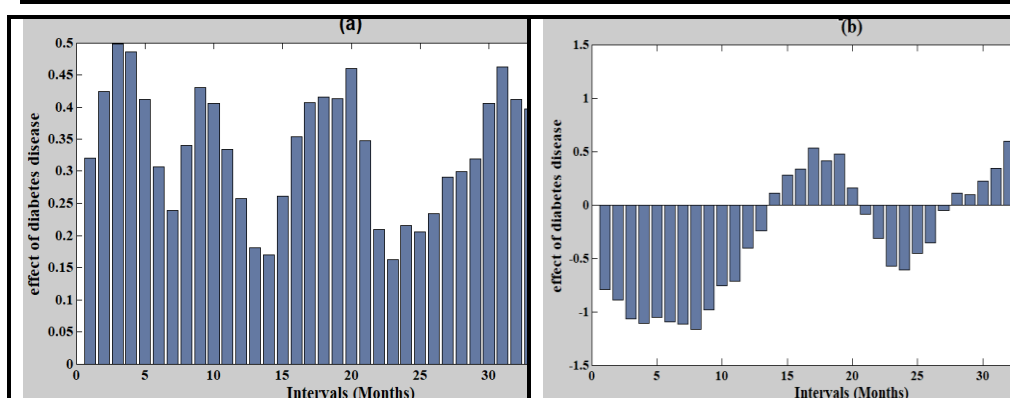
التقدير البيزى في تحليل المخاطر المشافسة لبيانات البقاء المتقطعة في ظل النهج المحركى

ثلاثة امراض وهي امراض القلب حيث كان نسبه للصائمين في العينة (62.9%) ، مرض السكر كلت نسبة الصائمين(68.6%) ومرض التهاب الكبد الفيروسي ونسبة ونسبة للصائمين (66.4%). . تعرض الاشكال (9) (10) (11) التأثيرات المتغيرة مع مع الزمن لخاصة بكل مرض على التوالي ، من خلال الشخص والمقارنة لـ (a) في (a) في الاشكال الثلاثة نلاحظ ان هناك دليلا واضحا على وجود التأثير لمرض السكر على حدث الوفاة على طول الفترات الزمنية ، اما بالنسبة الى امراض القلب فلها فلها تأثير اقل مقارنة مع مرض السكر حيث يكون التأثير متذبذبا خلال الفترات الزمنية الزمنية ويزداد التأثير تحديدا في الفترة الوسطية، وبما يخص التهاب الكبد الفيروسي نجد الفيروسي نجد ان ليس هناك اي تأثير على حدث الوفاة ، من خلال مقارنة (b) في الاشكال الثلاثة نلاحظ انه الاشخاص للصائمين بالأمراض القلبية اقل خضوعا لعملية لعملية زرع الكلى الا في الفترات الاخيرة بعد الشهر السابع والعشرين بدأ ظهور تأثير ، تأثير ، اما بالنسبة الى مرض السكر فنلاحظ ان في الفترات الوسطية كان هناك تأثير تأثير واضح ثم بعد ذلك نخفض التأثير وعاد للزيادة بشكل كبير بعد الشهر الثامن والعشرين والعشرين ، بما يخص التهاب الكبد الفيروسي فكان هناك تأثير في اغلب الفترات الزمنية الزمنية حيث ان الاشخاص للصائمين بالتهاب الكبد الفيروسي كانوا اكثر خضوعا لزرع لزرع الكلى لغاية الشهر الثلاثين حيث نلاحظ بعد ذلك بدأ التأثير بالانخفاض تدريجيا .

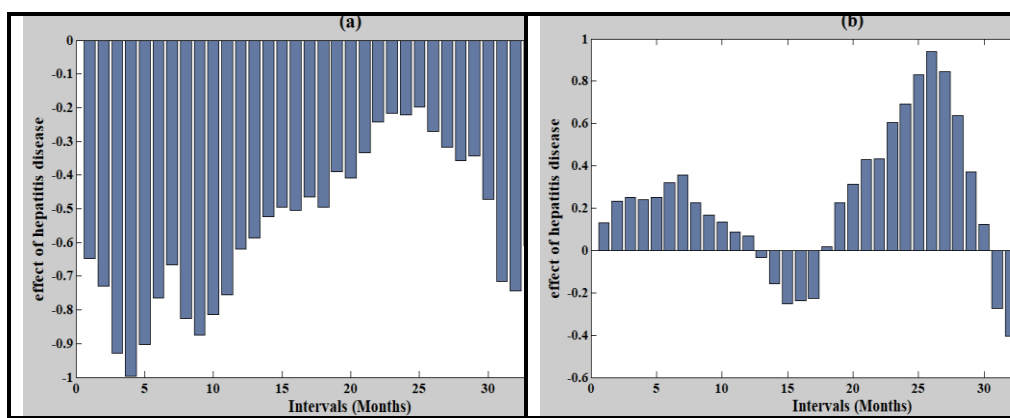
تدريجيا .



شكل (٩) : التأثيرات المقدرة لأمراض القلب Heart diseases مع حدود الثقة (a) لحدث الوفاة ، (b) لحدث زرع الكلى .



شكل (١٠) : التأثيرات المقدرة لمرض سكر diabetes disease مع حدود الثقة لحدث الوفاة ، (b) لحدث زرع الكلى .



شكل (١١) : التأثيرات المقدرة لمرض التهاب الكبد الفيروسي hepatitis disease مع حدود الثقة (a) لحدث الوفاة ، (b) لحدث زرع الكلى .

٧ - الاستنتاجات والتوصيات Conclusions and Recommendations

١-٧ الاستنتاجات : Conclusions

١ - في تحليل البقاء فإن قطيع البيانات إلى مجموعة من الفترات يسمح ذلك بتحليل المظاهر وشخيص التأثيرات التي تختلف بمرور الزمن . ففي مثل هذا النوع من البيانات يكون تطبيق اسلوب النمذجة الديناميكية أكثر مرنة وسلامة وبالتالي إمكانية الأخذ بظواهر الاعتبار تأثير عامل الزمن . بالإضافة إلى ذلك يساعد اجراء قطيع البيانات على دراسة وتحليل البقاء في ظل وجود احداث منفحة لحدث الاهتمام .

٢ - من خلال نتائج التحليل تم التوصل إلى أن هناك تقاربًا في أداء نموذجي- M ، بالإضافة إلى ذلك فقد بينت النتائج فضالية M-Logistic و M-Cox طريقة MAP حيث كان لها أقل قيمة لمعايير المقارنة .

٣ - من خلال تقدير دالتي البقاء والمخلطة تم التوصل إلى أن احتمالية توقف المرض عن غسل الكلى تبدأ بالزيادة بشكل واضح بعد الشهر ٢٠ وتستقر بالزيادة تدريجيا ، اي ان احتمالية حدوث حدث الوفاة او حدث زرع الكلى تزداد بعد شهر ٢٠ .

٤ - بالنسبة إلى حدوث حدث الوفاة بسبب الفشل الكلوي ومن خلال نتائج تقدير التأثيرات المتغيرة مع الزمن نجد ان أكثر المتغيرات تأثيرا على حدث الوفاة الوفاة هو الاصابة بمرض السكر ، من جهة أخرى فقد بينت نتائج التحليل ان ان متغير لجنس ليضا كان له تأثير في بعض الفترات الزمنية حيث كان الذكور الذكور أكثر عرضة للوفاة من الإناث . ليضا من المتغيرات المؤثرة هو عمر المرض حيث ان الاشخاص كبار السن كانوا أكثر عرضة للوفاة من صغار

صغار السن ولاسيما في الاشهر الاولى بعد ذلك بدأ تأثير العمر بالزوال .
بالنسبة لباقي المتغيرات مثل التدخين و لحالة الزوجية ايضا كان لهم تأثير في
في جن الفترات الزمنية .

٥ - بالنسبة الى حدوث حدث زرع الكلى ، فقد بنت النتائج ان اكثر المتغيرات
تأثيرا على حدوث الحدث هو لحالة الزوجية حيث ان الاشخاص المتزوجين
كانوا اكثر خصوصا لعمليات زرع الكلى ، كذلك من المتغيرات المؤثرة هو متغير
الجنس حيث نلاحظ ان الذكور يخضعون لعمليات زرع الكلى اكثر من الاناث .
بالنسبة الى باقي المتغيرات مثل العمر ، التدخين ، الامراض المزمنة ايضا كان
لها جن التأثيرات خلال الفترات الزمنية .

٢-٧ التوصيات : Recommendations

بإمكان دائرة صحة محافظة البصرة الاعتماد على النتائج التي تم التوصل اليها في
هذه الدراسة لغرض تقدير كل من ذاتي المخلطرة والبقاء للمرضى الموجوبين وللجدد
في مركز غسيل الكلى في محافظة البصرة .

٣-٧ المد راست المستقبلية : Future works

١ يمكن عمل دراسات مستقبلية حول المقارنة بين النماذج الديناميكية والنماذج
الثابتة في وصف بيانات البقاء المقطعة ، ومن ثم تطبيق الدراسة على
مرضى الغسيل الكلى .

٢ النظر في امكانية تطبيق اساليب الذكاء الاصطناعي في النمذجة الديناميكية
لبيانات البقاء المقطعة ، ومن ثم المقارنة مع لطرق المستعملة في هذا البحث.

- 1- Bassett,R.,& Deride,J.(2019). Maximum a Posteriori Estimators as a Limit of Bayes Estimators. *Journal of Mathematical Programming*,174,pp.129-144.
- 2- Berger,U., Fahrmeir,L.,& Klasen,S.(2002). Dynamic Modelling of Child Mortality in Developing Countries: Application for Zambia. *Sonderforschungsbereich* 386, Paper 299. Online unter: <http://epub.ub.uni-muenchen.de/>.
- 3- Berry,S.D.,Ngo,L., Samelson,E.J.,& Kiel,D.P.(2010). Competing Risk of Death: An Important Consideration in Studies of Older Adults . *J Am Geriatr Soc*, 58(4): 783–787.
- 4- Fahrmeir,L.,&Wagenpfeil,S.(1996). Smoothing Hazard Functions and Time-Varying Effects in Discrete Duration and Competing Risks Models . *jornal of American Statistical Association*,Vol.91,pp.1584-1994.
- 5- Fahrmeir,L.,&Tutz,G.(2001). Multivariate Statistical Modelling Based on Generalized Linear Models.(2nd), Springer Seience+Business Media New York.
- 6- Heyard,R.,Timsit,J.F.,&Ibn Essaied,W.I.,&Held,L.(2018). Dynamic clinical prediction models for discrete time-to-event data with competing risks—A case study on the OUTCOMEREA data base .*Biometrical Journal*,Vol.61,N.3,pp.1-21.
- 7- Janitza,S.,&Tutz,G.(2015). Prediction Models for Time Discrete Competing Risks. Technical Report, No.177, Department of statistic, University of Munich.

- 8- Knorr-Held,L.,& Fahrmeir,L.(1997). Dynamic discrete Time duration models: estimation via Markov Chain Monte Carlo. *Sociological Methodology*, Vol.27, N.1,pp.417-452.
- 9- Tutz,G.(1996). Nonparametric Estimation of Discrete Hazard Functions. *Lifetime Data Analysis journal*, 2, 291-308.
- 10- Tutz,G.,& Schmid,M.,(2016). Modeling Discrete Time-to-Event Data. *Springer Series in Statistics*, International Publishing Switzerland.
- 11- Wagner,H.(2011). Bayesian estimation and stochastic model specification searchfor dynamic survival models. *Journal of Stat Comput*, 21: pp.231–246.
- 12- Wen,C., & Chen,Y.(2020). Discrete-time survival data with longitudinal covariates. John Wiley & Sons, Ltd. *Statistics in Medicine Journal*;pp.1–14.
- 13- Yaqoob,A.A.,&Ali,O.A.(2021). Dynamic Modeling of Time-Varying Estimation for Discrete Survival Analysis for Dialysis Patients in Basrah, Iraq. *International Journal of Agricultural and Statistical Sciences*,Vol.17,Suplement 1.
- 14- <https://www.healthline.com/health/kidney-disease#symptoms> .